

## تولید زیستی نانوپودر نقره و ارزیابی کاربردهای آن در تولید فراورده های بهداشتی

سعید جعفری راد<sup>۱\*</sup>، لاله خدایی<sup>۲</sup>، جلال محمدی<sup>۳</sup>، رزاق محمودی<sup>۴</sup>، آیدا پارسا آذر<sup>۵</sup>  
(تاریخ دریافت: ۱۳۹۴/۱۱/۱۰، ش.ص ۶۹-۸۰، تاریخ پذیرش: ۱۳۹۵/۰۷/۰۳)

### چکیده

به دلیل کاربردهای بیولوژیکی و دارویی مختلف شناسایی شده برای نانوذرات نقره، سنتز نانوذرات نقره در سال های اخیر بسیار مورد توجه قرار گرفته است. روش فیتوسنتز، روشی با صرفه، دقیق و بی خطر برای محیط زیست است. در روش های شیمیایی همواره این احتمال وجود دارد که مقادیر جزئی از مواد حلال بر روی نانوذرات نقره باقی بماند. در این کار پژوهشی همه واکنش گرهای شیمیایی از گرید تجزیه ای هستند و بدون خالص سازی اضافی به کار گرفته شده اند. یک مسیر فیتوسنتزی با روش حرارتی کلاسیک با استفاده از گیاه نسترن وحشی برای تولید نانوذرات نقره استفاده شد. جهت بررسی فعالیت آنتی اکسیدانی عصاره مورد استفاده از آزمون ۲،۲-دی فنیل-۱-پیکریل هیدرازین (DPPH) استفاده گردید. برای بررسی اندازه، ریخت شناسی و ترکیبات شیمیایی پایدارکننده ی نانوذرات نقره، رسوب به دست آمده توسط فن های طیف سنجی زیر قرمز تبدیل فوریه (FTIR)، طیف سنجی پراش اشعه ایکس (XRD)، طیف سنج انرژی انتشاری اشعه ایکس (EDX)، پراکندگی دینامیک نور (DLS) و میکروسکوپ الکترونی روبشی (SEM) مورد آنالیز قرار گرفت. نانوذرات نقره برای بررسی خلوص فازها، میزان بلورینگی و میانگین اندازه بلور ذرات به وسیله XRD شناسایی شدند. آنالیز عنصری نمونه های سنتز شده برای به دست آوردن اطلاعات ساختاری به وسیله روش SEM-EDX آنالیز شدند. با استفاده از طیف FT-IR می توان گفت گروه OH مسئول احیای و پوشاندن یون نقره می باشد که در نتیجه این کاهش، گروه کربونیل تقویت شده است. نتایج آنالیز SEM اندازه ذرات را بین ۴۰-۳۰ نانومتر نشان می دهد. خاصیت آنتی باکتریایی ذرات سنتز شده در برابر چهار باکتری استافیلوکوکوس اورئوس، لیستریا مونوسیژون، اشرشیا کولی و سالمونلا تیفیموریوم بررسی شد. نهایتا کرمی از عصاره نسترن وحشی و نانوذرات نقره سنتز شده از آن به روش سبز تهیه گردید. نتایج گویای آن است که تولید نانوذرات نقره به روش بیوسنتز گیاهی می تواند به عنوان روش دوست دار محیط زیست و ارزان برای تولید محصولات آرایشی-بهداشتی طبیعی مانند کرم به کار رود.

**واژه های کلیدی:** میوه نسترن وحشی، نانوذرات نقره، نانوکرم.

۱ استادیار، مرکز تحقیقات علوم پایه، دانشگاه تبریز

۲ استادیار گروه داروسازی سنتی، دانشکده طب سنتی، دانشگاه علوم پزشکی تبریز

۳ دانشجوی دکترا، گروه شیمی تجزیه، دانشکده شیمی، دانشگاه تبریز

۴ دانشیار گروه بهداشت و ایمنی مواد غذایی، دانشکده بهداشت، دانشگاه علوم پزشکی قزوین

۵ دانشجو کارشناسی ارشد، مرکز تحقیقات علوم پایه، دانشگاه تبریز

\* نویسنده مسئول: jafarirad@tabrizu.ac.ir

## پیشگفتار

با توجه به اینکه روش های سنتزی شیمیایی نانوذرات مشکل بوده و مقادیر بسیار زیادی حلال آلی سمی برای این کار مورد نیاز است و استفاده از نانوذرات تولید شده برای اهداف پزشکی به دلیل آلوده شدن در محیط حلال های آلی میسر نمی باشند [۱]؛ لذا استفاده از روش فیتوسنتز برای تولید نانوذرات به علت عدم سمیت نانو ذرات و کم هزینه بودن این روش و عدم آلودگی محیط زیست مناسب می باشد. علاوه بر آن، همه روش های سنتز شیمیایی گزارش شده سرعت های بسیار کندی دارند و معمولا چندین ساعت زمان برای کامل شدن واکنش به طول می انجامد [۲]. از طرف دیگر در صورت موفقیت در بیوسنتز کنترل شده نانو ذرات، این روش می تواند جایگزین مناسبی به جای روش های معمول سنتز شیمیایی شود؛ زیرا این فناوری جدید ساده، ارزان، سریع و سازگار با محیط زیست است. برای اولین بار عصاره گیاه شمعدانی (عصاره برگ، ساقه و ریشه) برای تولید خارج سلولی نانو ذرات طلا استفاده شد. شانکار و همکاران کاهش زیستی یون های طلا به نانوذرات طلا را با استفاده از عصاره برگ گل شمعدانی گزارش کردند [۳]. همچنین آن ها توانستند نانوذرات مثلثی و کروی طلا را با استفاده از عصاره لیمو تهیه کنند [۴]. نانوذرات نقره به دلیل کاربردهای زیست فناوری مورد توجه قرار دارند. به عنوان مثال اخیرا گروهی از محققان یونانی و اسپانیایی توانسته اند با بهره گیری از عصاره برگ بوته توت فرنگی، نانوذرات نقره را سنتز نمایند. این محققان توانسته اند با استفاده از برگ توت فرنگی و نیترات نقره، نانوذرات نقره تولید کنند [۸-۱]. بنابراین بیوسنتز نانوذرات با استفاده از عصاره گیاهی روش ایده آلی به نظر می رسد.

گیاهان و جلبک های زیادی وجود دارند که می توانند در تولید زیستی این نانوذرات با ارزش به کار روند. در تحقیق حاضر با توجه به گستردگی رویشی گیاه نسترن کوهی در ایران، برای اولین بار، میوه نسترن کوهی که غنی از متابولیت های ثانویه به ویژه آسکوربیک اسید می باشد، به عنوان ماده احیا کننده و پوشاننده کاتیون نقره انتخاب شد.

اخیرا گزارش های متعددی در مورد ثبت اختراع و تولید انواع فراورده های حاوی نانوذرات مانند کرم های ضد آفتاب و ضد چروک در منابع علمی مشاهده می گردد [۹]. این نوع کرم ها، در حقیقت نوعی ماسک نانویی در برابر پرتو ماورابنفش خورشید هستند که از چروک های ناشی از آفتاب جلوگیری می کنند و در ضمن هیچ آثاری از رنگ سفید ناشی از حضور ماده ضد پرتو ماورابنفش به دلیل ماهیت نانوذره بودن از خود بر جای نمی گذارند.

در این راستا گروه ما اخیرا اقدام به تولید کرم حاوی نانوذرات نقره بر روی پوست کرده است. نتایج نشان می دهد که می توان از نانوذرات نقره سنتز شده به عنوان عوامل ضد باکتریایی برای کاربردهای درماتولوژی استفاده کرد [۸].

## مواد و روش ها

### مواد

نیترات نقره، گونه گیاهی نسترن وحشی، آب دیونیزه، متانول، ۱۰۱ دی فنیل پیکریل هیدرازین

### دستگاه های مورد نیاز

دستگاه FT-IR مدل TENSOR27 ساخت شرکت Bruker آلمان با واحد اندازه گیری  $\text{cm}^{-1}$  و محدوده طیفی ۴۰۰ تا  $4000 \text{ cm}^{-1}$  و دقت اندازه گیری  $0.1 \text{ cm}^{-1}$  مورد استفاده قرار گرفت. دستگاه پراش اشعه ایکس مدل D500 ساخت شرکت زیمنس آلمان، با منبع تابش Cu-Ka در طول موج  $1.54 \text{ \AA}$  آنگستروم و ولتاژ ۴۰ کیلوولت در گستره زاویه پراش  $10-80$  درجه و در دمای محیط استفاده گردیده است. دستگاه DLS مدل Nanotracer Wave شرکت Microtrac مجهز به لیزر  $780 \text{ nm}$  نانومتر برای تعیین اندازه، پایداری نانو ذرات و همچنین پراکندگی نانو ذرات از نظر اندازه آن ها استفاده شده است. دستگاه SEM دانشگاه تبریز با مارک MIRA3 FEG-SEM ساخت شرکت Tescan کشور چک مورد استفاده قرار گرفت. قدرت تفکیک این دستگاه تا  $1 \text{ nm}$  نانومتر بوده و قدرت بزرگنمایی آن تا  $1$  میلیون برابر با اعمال ولتاژ  $30$  کیلو ولت می باشد. نمونه ها به وسیله چسب آلومینیومی تثبیت شده و در زیر میکروسکوپ قرار

ایجاد کردیم به یک سطحی از محیط آگار در پلیت‌ها وارد می‌گردد. اندازه هاله منطقه ممانعت رشد اطراف هر چاله نشان‌دهنده فعالیت آنتی میکروبی است که این روش معمول‌ترین شکل ارزیابی مواد ضد میکروبی است و به نام آزمون کربی-بایر معروف است. اساس این روش، انتقال ماده آنتی باکتریال به درون دیسک است. در این روش ابتدا دیسک‌های استریل را در محلول عصاره انداخته و بعد از خیس خوردن، از آن‌ها استفاده می‌شود. ابتدا، بر روی محیط مولر هینتون آگار چاهک‌هایی به قطر ۵ میلی متر ایجاد و پس از کشت باکتری از سوسپانسیون مک فارلند توسط سوپ استریل در هر چاهک حدود ۹۰ میکرولیتر از رقت‌های نانوذرات نقره تلقیح شد. در نهایت پتری دیش‌های تلقیح شده در انکوباتور در دمای ۳۷ درجه قرار داده و بعد از ۲۴ ساعت قطر هاله‌های عدم رشد ایجاد شده در اطراف دیسک‌ها با کولیس اندازه‌گیری می‌شود [۱۰]. در این آزمایش چهارنوع باکتری شایع لیستریامونوسیتوز، استافیلوکوکوس اورئوس، اشیریشیاکولی و سالمونلاتیفیموریوم بررسی شد.

### بررسی خاصیت آنتی‌اکسیدانی

برای تهیه محلول، ۸ میلی‌گرم ۲،۲-دی فنیل-پیکریل هیدرازین (DPPH) به دقت توزین شده و با استفاده از متانول مطلق به حجم ۱۰۰ میلی‌لیتر رسانده شد. عمل احیا شدن در طول موج ۵۱۷ نانومتر، در دمای اتاق و پس از گذشت ۵ دقیقه از شروع واکنش صورت می‌گیرد [۱۳-۱۱] (جدول ۱).

جذب نمونه‌ها با غلظت‌های متفاوت، بعد از ۳۰ دقیقه در طول موج ۵۱۷ نانومتر خوانده شد. نمونه‌های با غلظت بیش‌تر عصاره متانولی جذب کم‌تری در ناحیه ۵۱۷ نانومتر از خود نشان می‌دهند؛ زیرا با آنتی‌اکسیدان‌های موجود در DPPH به دلیل بالاتر بودن ماده مؤثر گیاه در غلظت‌های عصاره برهمکنش داشته و به‌صورت رادیکال آزاد باقی نخواهد بود. میزان I/A با استفاده از معادله ۱ محاسبه می‌شود.

می‌گیرند، آون مدل ۳۴۹۱ ساخت شرکت بهداد با قابلیت تنظیم دما به دو قالب، درجه سانتیگراد و درجه فارنهایت برای خشک‌کردن نمونه‌های سنتز شده و همچنین در جریان عصاره‌گیری استفاده شده است. حمام امواج فراصوت VGT 1740 QTD ساخت کشور کره با قابلیت تنظیم دما، به‌منظور عصاره‌گیری و پراکنده کردن ذرات سنتز شده، برای انجام اندازه‌گیری اندازه ذره و انجام تست میکروبی مورد استفاده قرار گرفته است. ماکروویو، اوربیتال شیکر مدل OS4LD ساخت شرکت فن‌آوران سهند آذر با قابلیت هم‌زدن محلول‌ها، به مدت طولانی و با دوره‌های مختلف می‌باشد، روتاری مدل RV 10 ساخت شرکت IKA آلمان با قابلیت ایجاد خلأ و تنظیم دماهای مختلف برای نمونه‌های متفاوت، برای تغلیظ عصاره متانولی استفاده شده است.

### واکنش فیتوستنز به روش رفلکس

برای تهیه عصاره، گیاه ذکر شده از باغات شهرستان آذرشهر واقع در آذربایجان شرقی جمع‌آوری شده و در یک مکان تاریک در مدت ۳ هفته کاملاً خشک گردید و سپس توسط هم‌زن برقی پودر گردید و برای عصاره‌گیری آماده شد. عصاره گیاه نسترن وحشی به روش خیساندن با حلال آب تهیه گردید. برای انجام واکنش مقادیر مشخصی از عصاره با نمک نقره در غلظت ۲ میلی مولار ترکیب شد. واکنش بر روی یک هیتر استیرر در دمای ۵۵ درجه سانتی‌گراد در مدت زمان ۴۵ دقیقه انجام شد. طی این فرآیند عصاره گیاهی به عنوان واکنش‌گر کاهش و نیز پوشاننده کاتیون‌های نقره ایفای نقش می‌کند. محصول به‌دست‌آمده به‌طور کامل خشک شده و برای تخلیص چندین مرتبه با حلال‌های آلی هگزان نرمال، دی کلرومتان و اتیل استات شستشو داده شد.

### روش مورد استفاده در آزمون‌های میکروبی

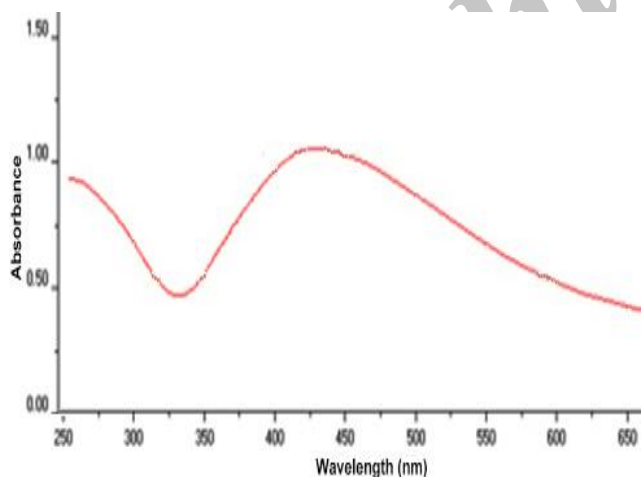
به‌منظور بررسی خاصیت آنتی میکروبی نانوذرات نقره، آزمایش تعیین حساسیت آنتی میکروبی انتخاب گردید که روش انتخابی ما روش انتشار در پلیت بوده است که در این روش، هاله ممانعت رشد به طریق انتشار خارجی آنتی‌بیوتیکی از یک منبع مثل چال هائی که در لایه آگار

شامل موم زنبور عسل (۱۰٪)، پارافین مایع (۸۵٪)، ستیل الکل (شکل ۱٪) و لانولین (۴٪) را برشمرد. در فاز آبی عصاره، محلول نانو ذره نقره و در فاز روغنی موم زنبور عسل، پارافین مایع، لانولین و ستیل الکل قرار دارد. pH پایه کرم در حوالی ۶/۵ و دما در ۷۰ درجه سانتی گراد تنظیم گردید. پس از رسیدن به دمای مذکور، عصاره آبی نیز به دمای ۴۵ رسانده شد. سپس فاز آبی به فاز روغنی افزوده شد و به شدت عمل همزدن تا رسیدن به دمای ۳۵-۳۰ درجه سانتی گراد ادامه یافت. به این ترتیب با ایجاد تغییراتی در فرمول پایه، فرمولاسیون نانوکرم تهیه گردید.

## نتایج و بحث

### طیف سنجی اسپکتروفتومتری UV-VIS

طیف سنجی UV-VIS یک تکنیک قابل توجه برای تایید شکل گیری نانوذرات نقره در محلول آبی می باشد. در این طیف قله های موجود در ناحیه ۴۳۴ نانومتر با جذب بالا دیده می شود که خاص نانوذرات نقره می باشد. همچنین رنگ قهوه ای تیره بسته به شدت رنگ و اندازه نانوذرات نقره در محیط به وجود آمده است (شکل ۱) [۱۷-۱۴].



شکل ۱- طیف جذب UV-Vis نانوذرات نقره سنتز شده

### ارزیابی پراش اشعه ایکس

### جدول ۱- آماده سازی غلظت نهایی نمونه ها برای سنجش DPPH

%RC	جذب در ۵۱۷ نانومتر	غلظت نمونه (mg/ml)	
۹۸/۵	۰/۰۱۰	۱/۰۰۰	۱
۹۷/۰	۰/۰۲۰	۰/۵۰۰	۲
۸۷/۴	۰/۰۸۵	۰/۲۵۰	۳
۷۸/۱	۰/۱۴۸	۰/۱۲۵	۴
۶۳/۹	۰/۲۴۴	۰/۰۶۲	۵
۵۴/۱	۰/۳۱۰	۰/۰۳۱	۶
۴۴/۸	۰/۳۷۳	۰/۰۱۵	۷
-	۰/۶۷۶	بلانک	۸

در معادله، I/A بیانگر غلظت ۵۰ درصد برای احیای DPPH یا جلوگیری از رشد رادیکال های آزاد است و A<sub>Blank</sub> جذب محلول DPPH است.

$$I\% = [(A_{\text{blank}} - A_{\text{sample}}) / A_{\text{blank}}] \times 100 \quad (1)$$

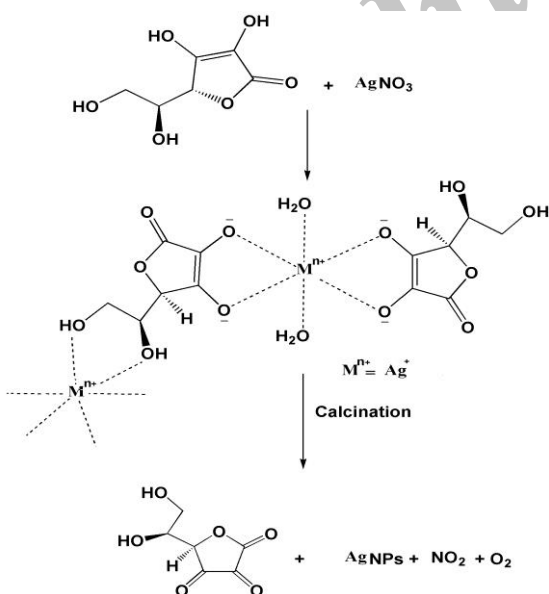
### ساخت کرم پایه چربی دوست حاوی نانو ذرات

برای ساخت کرم از پایه کرم چربی دوست اهدایی کارخانه آذر زیبا فر استفاده شد. مراحل ساخت و آمیزه کاری کرم مطابق با روش مرسوم شامل حرارت دهی، امولسیون سازی و نهایتاً خنک سازی اجرا شد. به طور خلاصه روند ساخت کرم در این کار پژوهشی به این قرار بود: از آنجایی که امولسیون های روغن در آب متداول ترین پایه قابل شستشو با آب در تهیه کرم ها هستند؛ لذا از آن ها برای تهیه کرم استفاده شده است. به این ترتیب، می توان به عنوان الگویی برای انتخاب پایه مناسب، مواد به کار رفته در فرمولاسیون عمومی کرم

اشاره شود که عصاره گوشت میوه نسترن وحشی به دلیل محتوای بالای متابولیت‌های ثانویه در این عصاره گیاهی پتانسیل بالایی دارد. لازم به ذکر است که بر اساس گزارشات موجود، آسکوربیک اسید در بین سایر متابولیت‌های میوه نسترن وحشی، از نظر کمی مقادیر بیشتری را به خود اختصاص داده است.

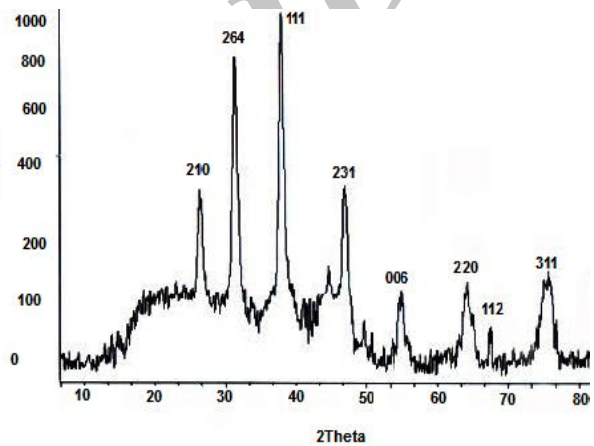
از سوی دیگر اندازه‌گیری پتانسیل تعادلی عصاره نسترن وحشی مقدار  $0/153$  ولت نسبت به الکتروود شاهد کالومل نشان می‌دهد. درحالی که پتانسیل اکسایشی کاتیون نقره برای گرفتن تک الکترون برابر  $0/80$  ولت می‌باشد؛ بنابراین از نظر ترمودینامیکی انجام واکنش اکسایش/کاهش امکانپذیر است. لازم به ذکر است که آسکوربیک اسید موجود در عصاره یکی از مواد دارای ظرفیت الکترون‌دهندگی بالا بوده و می‌تواند به وسیله تشکیل کمپلکس با کاتیون نقره، امکان اجرای فرایند اکسایش/کاهش در مرحله بعد را فراهم آورد. بنابراین الکترون‌های آزاد شده از آسکوربیک اسید به احتمال قوی باعث کاهش کاتیون‌های نقره می‌شود [۲۰ و ۱۹].

نتایج الگوی FTIR عصاره آبی میوه نسترن وحشی در مقایسه با نانوذرات نقره سنتز شده موید این مطلب است. در شکل ۳ و ۴ این موضوع نشان داده شده است.



شکل ۳- مکانیسم پیشنهادی فرایند کاهش کاتیون نقره به وسیله عصاره گیاهی و تهیه نانوذرات نقره [۲۰]

پراش اشعه ایکس برای تعیین ساختار اتمی، تعیین بلورینگی، اندازه حوزه کریستالی نانوذرات نقره استفاده می‌شود که برای بررسی تشکیل شدن و نوع فاز جامدات پودری، روشی مطمئن و قابل اعتماد است. با توجه به شکل ۲ پیک هائی در زوایای  $2\theta$  برابر با  $27/88^\circ$ ،  $32/29^\circ$ ،  $38/13^\circ$ ،  $46/30^\circ$ ،  $56/41^\circ$ ،  $64/46^\circ$ ،  $67/59^\circ$  و  $76/93^\circ$  به ترتیب مربوط به صفحات بلوری  $210$ ،  $264$ ،  $111$ ،  $231$ ،  $006$ ،  $220$ ،  $112$  و  $311$  فاز نقره فلزی مطابقت داشته و نشان دهنده تولید نانوذرات نقره با ساختار مکعبی با وجوه پراست<sup>۲</sup> [۱۸]. الگوی XRD به وضوح نشان می‌دهد که نانوذرات سنتز شده به روش سبز به صورت کریستال وجود دارند.



شکل ۲- پراش اشعه ایکس نانوذرات نقره سنتز شده

### مکانیسم پیشنهادی برای سنتز نانوذرات نقره با استفاده از الگوی FTIR

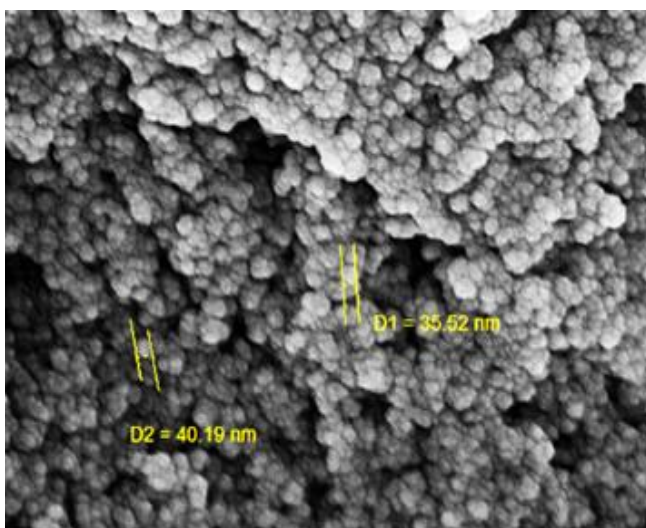
همان‌گونه که ذکر شد، فیتوسنتز نانو ذرات نقره در ابتدا با آماده‌سازی عصاره گیاه آغاز گردید که در این مرحله عصاره گوشت میوه نسترن وحشی تهیه می‌شود. در مرحله بعد کاهش کاتیون نقره با استفاده از روش سبز (کاهنده‌های طبیعی موجود در عصاره) انجام گرفت. واکنش با افزایش نیترات نقره بی رنگ به عصاره زرد کم رنگ شروع می‌شود. با سپری شدن زمان واکنش رنگ محلول تیره‌تر شده و به قرمز پر رنگ تبدیل می‌گردد. در مورد مکانیسم احتمالی تشکیل نانو ذرات نقره با استفاده از عوامل کاهنده گیاهی باید به این نکته

<sup>2</sup>-Faces center cubic

## بررسی اندازه ذرات اکسید

### آنالیز SEM

تصویر SEM نانوذرات نقره سنتز شده در شکل ۵ نشان داده شده است. از این تکنیک برای تعیین اندازه و ریخت شناسی ذرات استفاده می شود. با توجه به تصویر، قطر نانوذرات سنتز شده بین ۳۰ تا ۴۰ نانومتر قرار دارد که در محدوده مقیاس نانو می باشد.

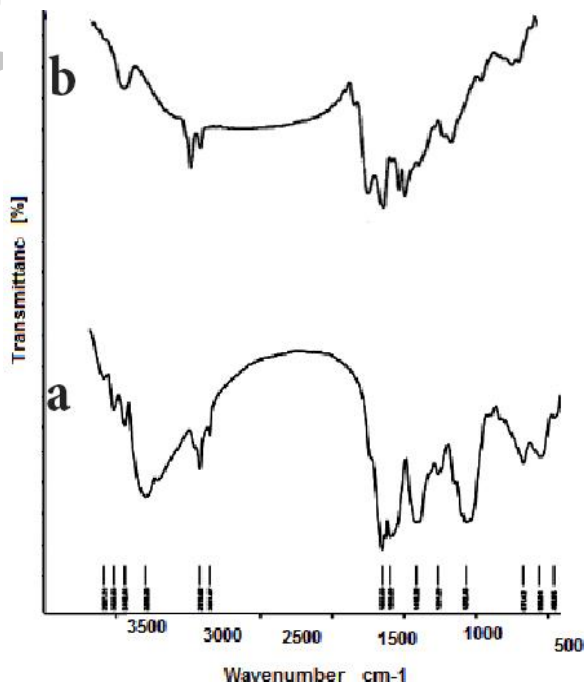


شکل ۵- تصویر SEM نانوذرات نقره سنتز شده

### آنالیز DLS

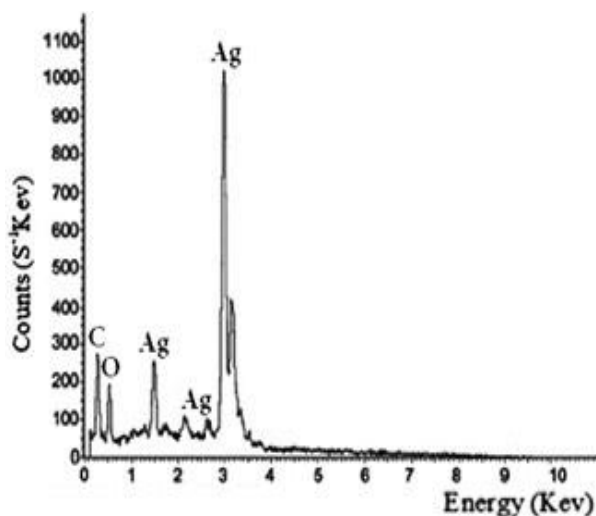
طیف پراکندگی دینامیکی نور نشان دهنده توزیع اندازه ذرات می باشد. برای اندازه گیری اندازه نانو ذرات در محیط مایع مورد استفاده قرار می گیرد [۲۰ و ۲۱]. این روش برای تعیین اندازه ذرات در محدوده چند نانومتر تا میکرون به کار می رود که در شکل ۶ نشان داده شده است. در این تصویر با توجه به نمودار پراکندگی اندازه ذرات، محدوده اندازه تمام ذرات بین ۳۵ تا ۵۰ نانومتر است که ۹۲/۳۲ درصد از این نانوذرات زیر ۱۰۰ نانومتر و ۳۵ درصد از نانوذرات زیر ۵۰ نانومتر هستند. قطر به دست آمده با این روش، مربوط به کره ای با ضریب انتقالی معادل ذره ی مورد اندازه گیری است. ضریب نفوذ انتقالی به اندازه ی ذره، ساختار سطحی، غلظت و نوع یون های موجود در محیط بستگی دارد. این بدین معناست که اندازه ی به دست آمده با این روش می تواند

همچنین تجزیه و تحلیل گروه های عاملی با استفاده از آنالیز FTIR به منظور شناسایی گروه های عاملی در عصاره نسترن وحشی انجام شد (شکل ۴). باندهایی در نواحی ۱۰۲۵ تا  $1200\text{ cm}^{-1}$  مربوط به باند کششی C-O است، باندهای موجود در  $1445\text{ cm}^{-1}$  و  $1438\text{ cm}^{-1}$  مربوط به باند کششی C-N ناشی از حضور آکالوئیدهای گیاهی، باند  $1635\text{ cm}^{-1}$  مربوط به ارتعاشات کششی C=C، باند  $1741\text{ cm}^{-1}$  مربوط به ارتعاشات کششی C=O، باند نواحی ۲۸۹۰ و  $2920\text{ cm}^{-1}$  مربوط به کشش نامتقارن پیوندی C-H است. پیک موجود در  $3449\text{ cm}^{-1}$  ارتعاشات کششی O-H را نشان می دهند که به دلیل وجود گروه هیدروکسیل آسکوربیک اسید در عصاره مشاهده می شود. در آنالیز FTIR نانوذرات نقره سنتز شده تقریباً همان الگوی مربوط به آنالیز عصاره مشاهده می شود، با این تفاوت که پیک مربوط به ارتعاشات کششی O-H تا حدود زیادی ضعیف تر شده که این موضوع حاکی را می توان به اکسید شدن گروه هیدروکسیل موجود در آسکوربیک اسید به وسیله کاتیون نقره موجود در محیط نسبت داد.

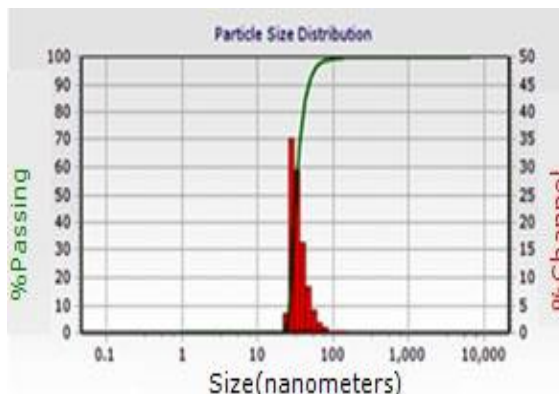


شکل ۴- (a) الگوی FTIR عصاره آبی میوه نسترن وحشی، (b) نانوذرات نقره سنتز شده

بزرگ‌تر از مقدار حاصل از روش میکروسکوپ الکترونی باشد.



شکل ۷- آنالیز عنصری EDX نانو ذرات



شکل ۶- نمودار DLS نانوذرات نقره سنتز شده

در آزمایش انجام‌شده با کاهش غلظت، خاصیت آنتی-باکتریایی کاهش پیدا کرده است که تأثیر نانو ذرات سنتز شده در مهار رشد باکتری‌های بیماری‌زا را نشان می‌دهد و به نظر می‌رسد که پودر نانو ذرات نقره حاصل از این پژوهش، دارای فعالیت آنتی‌باکتریایی نسبتاً خوبی در برابر باکتری‌های غذایی بیماری‌زا هستند. در بعضی از گزارش‌های علمی احتمال می‌دهند که علت فعالیت ضد میکروبی نانوذرات نقره مربوط به یون‌های مثبت نقره باشد که به شدت رشد باکتری را از طریق سرکوب آنزیم‌های تنفسی سرکوب می‌کنند [۱۸]. در گزارش‌های دیگری که نانو ذرات اکسید مس با استفاده از عصاره آبی شاه‌تره به صورت زیستی سنتز شده‌اند، نتایج نشان می‌دهد که این نانو ذرات در برابر استافیلوکوکوس اورئوس بیش‌ترین فعالیت آنتی‌باکتریایی را نشان می‌دهند [۲۰]. همچنین، کم‌ترین فعالیت آنتی‌باکتریایی نانو ذرات اکسید روی سنتز شده با استفاده از عصاره میوه گیاه نسترن وحشی در برابر لیستریا مونوسیتوزن مشاهده شده است [۲۱]. در این آزمایش با کاهش غلظت، خاصیت آنتی‌باکتریایی کاهش پیدا کرده است که تأثیر نانو ذرات سنتز شده در مهار رشد باکتری‌های بیماری‌زا را نشان می‌دهد [۲۱].

### بررسی کمی ساختار نانو ذرات نقره به وسیله طیف سنج انرژی انتشاری اشعه ایکس

طیف سنج انرژی انتشاری اشعه ایکس یا EDX حضور سیگنال مربوط به عنصر مورد نظر را تأیید می‌کند. محور عمودی تعداد شمارش اشعه ایکس و محور افقی انرژی در مقیاس KeV را نشان می‌دهد. شکل ۷ حضور نقره را در ترکیب سنتز شده نشان می‌دهد که تأیید کننده سنتز نانوذرات نقره می‌باشد و حداکثر جذب آن در حدود ۳ KeV است. همچنین تجزیه و تحلیل عناصر نشان می‌دهد که بیش‌ترین عنصر پس از نقره، اکسیژن و کربن است که این عناصر احتمالاً از بیومولکول‌های بافت گیاهی در عصاره آبی نسترن وحشی در لابلا نانوذرات باقیمانده است.

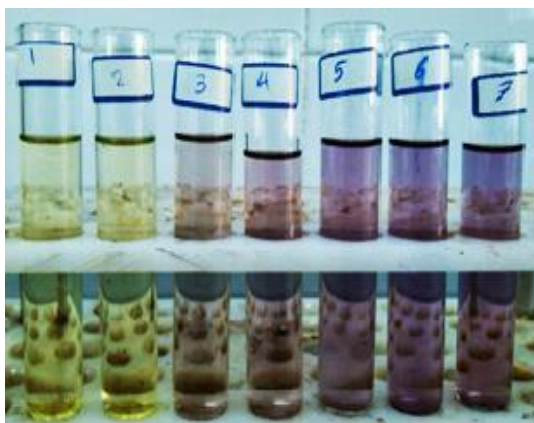
### بررسی خاصیت ضد باکتریایی نانو ذرات نقره سنتز شده

با توجه به جدول ۲ مشاهده می‌شود که نانو ذرات سنتز شده با استفاده از عصاره آبی در برابر سالمونلا تی‌فیموریوم (*Salmonella Typhimurium*) بیش‌ترین فعالیت آنتی‌باکتریایی را دارند. کم‌ترین فعالیت آنتی-باکتریایی نانو ذرات در برابر لیستریا مونوسیتوزن (*Listeria monocytogenes*) مشاهده شده است.

## جدول ۲- نتایج آزمون آنتی باکتریایی که میانگین قطر هاله عدم رشد باکتری توسط نانوذرات نقره

بakteri	قطر هاله بر حسب (mm) برای چهار غلظت (mg/ml)			
	۱	۰/۷۵	۰/۵	۰/۲۵
۱ Salmonella Typhimurium	۷	۵/۵	۴/۵	۳
۲ Listeria monocytogenes	۴	-	-	۱/۵
۳ Staphylococcus aureus	۶	۵	۴	۳
۴ Escherichia coli	۴	-	۵	۳

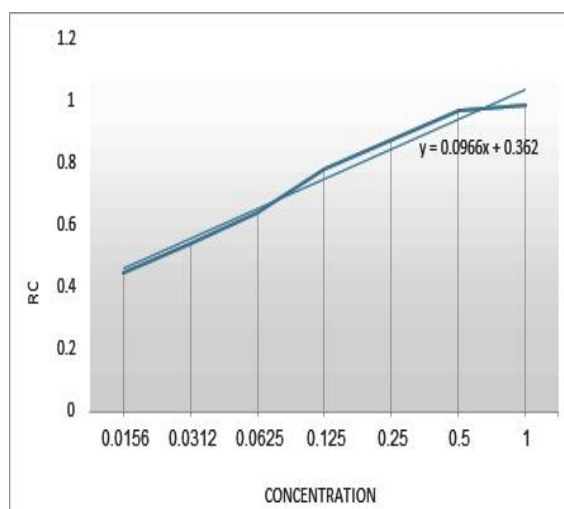
نمونه‌های با غلظت بیش‌تر عصاره متانولی جذب کم‌تری در ناحیه ۵۱۷ نانومتر از خود نشان می‌دهند؛ زیرا به دلیل بالاتر بودن ماده مؤثر گیاه در غلظت‌های بالاتر، DPPH با آنتی‌اکسیدان‌های موجود در عصاره برهمکنش داشته و به‌صورت رادیکال آزاد باقی نخواهد ماند. بدین ترتیب متناسب با غلظت عصاره تغییر رنگ‌های مختلفی در محلول مشاهده می‌شود (شکل ۹) با توجه به این نمودار می‌توان دریافت که عصاره گیاه نسترن از پتانسیل بالایی جهت تبدیل یک رادیکال آزاد به مولکول خنثی برخوردار است و در نتیجه از این عصاره می‌توان در فیتوسنتز نانوذرات نقره استفاده کرد.



شکل ۹- تصاویر تغییر رنگ در غلظت مختلف از محلول متانولی عصاره

## بررسی خاصیت آنتی‌اکسیدانی عصاره نسترن وحشی

در شکل ۸ مقدار معادله خط به دست آمده از نمودار به منظور تعیین غلظت مهار ۵۰ درصد برای تعیین قدرت آنتی‌اکسیدانی میوه گیاه نسترن وحشی ارایه شده است. به این منظور جذب نمونه‌ها با غلظت‌های متفاوت، بعد از ۳۰ دقیقه در طول موج ۵۱۷ نانومتر خوانده شد.



شکل ۸- فعالیت به دام اندازی رادیکال DPPD

## طراحی و فرمولاسیون کرم حاوی نانوذرات و عصاره گیاهی

همان‌گونه که در بخش تجربی اشاره شد، از آنجایی که امولسیون‌های روغن در آب متداول‌ترین پایه قابل شستشو با آب در تهیه کرم‌ها هستند؛ لذا از آن‌ها برای تهیه کرم استفاده شد. به این ترتیب با ایجاد تغییراتی در فرمولاسیون پایه، فرمولاسیون کرم حاوی نانوذرات نقره تهیه شد. نظر به این که کرم‌ها و سایر فراورده‌های موضعی محتوی آب دارای مواد قابل تجزیه به وسیله باکتری‌ها هستند؛ بنابراین باید این فراورده‌ها، در مقابل خطر آلودگی میکروبی محافظت گردند و از اینرو افزودن



## نتیجه‌گیری

در این کار پژوهشی عصاره آبی میوه گیاه نسترن وحشی برای بیوسنتز نانوذرات نقره به کار رفت که نشان از توان مواد قطبی استخراج شده به وسیله حلال آب، در الکترون دهنده‌گی و تشکیل کمپلکس با یون فلزی دارد. روش سنتز گیاهی می‌تواند به عنوان روش دوست‌دار محیط زیست و ارزان برای تولید فراورده‌های آرایشی و بهداشتی حاوی نانوذرات به کار رود. فرمولاسیون کرم مورد استفاده در این پژوهش در نوع خود جدید می‌باشد. از طرف دیگر پیش بینی می‌شود، کرم تولید شده به دلیل به کارگیری روش سبز و عدم استفاده از حلال‌های آلی به طور بالقوه در زمینه‌های بالینی کارکردهای فراوانی داشته باشد. البته تأیید این موضوع نیازمند تحقیقات گسترده‌تر بافتی و سلولی است.

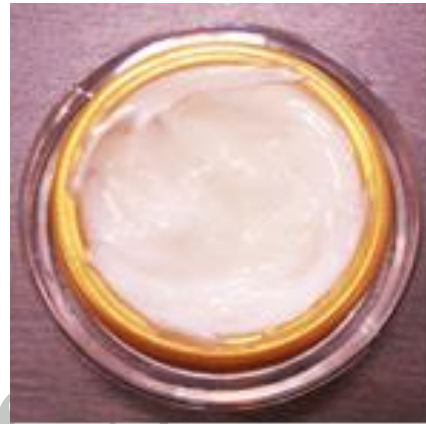
## سپاسگزاری

نویسندگان مقاله از دانشگاه تبریز به دلیل حمایت مالی از این کار پژوهشی تشکر می‌نمایند. همچنین از مدیریت شرکت محترم آذر زیبافر به جهت اهدا پایه کرم قدردانی می‌شود.

## References:

- [1] A. T. Harris and V. Bali. "On the formation and extent of uptake of silver nanoparticles by live plants". *Journal of Nanoparticle Research*, 2008; 10(4): 691-695.
- [2] S. Iravani, "Green synthesis of metal nanoparticles using plants". *Green Chemistry* 2011; 13(10): 2638-2650.
- [3] K. N. Thakkar, S. S Mhatre and R. Y Parikh. "Biological synthesis of

محافظ‌ها به فرمولاسیون کرم‌ها توصیه شده است. با توجه به آن که در فرمولاسیون کرم تهیه شده نانوذرات نقره ضد باکتری وجود دارد، به نظر می‌رسد که نیازی به افزودن محافظ‌های متداول به فرمولاسیون کرم تولید شده در این کار پژوهشی نباشد [۲۲]. تصویر کرم تولید شده در شکل ۱۰ نشان داده شده است.



شکل ۱۰- نمایی از فرم نهایی کرم تهیه شده حاوی نانوذرات نقره

به این ترتیب با توجه به تصویر، کرمی به رنگ سفید مایل به کرمی با امولسیون آب در روغن با نرم کنندگی، درخشندگی، یکنواختی فازی- ذره ای و دوام مناسب به دست آمد که بعد از گذشت ۲۴ ماه (مدت زمان متداول انقضا) از زمان آمیزه کاری هیچ تغییر فیزیکومکانیکی، رئولوژیکی یا دو فازی شدن در آن ملاحظه نمی‌شود.

metallic nanoparticles". *Nanomedicine: NBM* 2010; 6(2): 257-262.

[4] D. Bhattacharya and R. K. Gupta. "Nanotechnology and potential of microorganisms". *Critical Reviews in Biotechnology*, 2005; 25(4): 199-204.

[5] D. I. Mandal, M. E. Bolander, D Mukhopadhyay, G. Sarkar and P. Mukherjee. "The use of microorganisms for the formation of metal nanoparticles and their application". *Applied*

- Microbiology and Biotechnology 2006; 69(5): 485-492.
- [6] J. Kasthuri, K. Kathiravan and N. Rajendiran. "Phyllanthin-assisted biosynthesis of silver and gold nanoparticles: a novel biological approach". Journal of Nanoparticle Research 2009; 11(5): 1075-1085.
- [7] S. S. Shankar, A. Ahmad, R. Pasricha and M. Sastry. "Bioreduction of chloroaurate ions by geranium leaves and its endophytic fungus yields gold nanoparticles of different shapes". Journal of Materials Chemistry. 2003;13(7):1822-6.
- [8] S. Ahmed, M. Ahmad, B. L. Swami and S. Ikram. "Green synthesis of silver nanoparticles using *Azadirachta indica* aqueous leaf extract". Journal of Radiation Research and Applied Sciences. 2016 31;9(1):1-7.
- [9] H. S. Lee, U. J. Suh, D. S. Kil, K. Cho, "Fabrication method of ZnO nanoparticle and fabrication method of ZnO nano-fluid using thereof" patent No: US 8,512,672 B2
- [10] V. V. T. Padil and M. Černík. "Green synthesis of copper oxide nanoparticles using gum karaya as a biotemplate and their antibacterial application". International Journal of Nanomedicine 2013; 8: 889-898.
- [11] W. Brand-Williams and M. Cuvelier, C. Berset. "Use of a free radical method to evaluate antioxidant activity". LWT - Food Science and Technology 1995; 28(1): 25-30.
- [12] M. C. Foti, E. R. Johnson, M. R. Vinqvist, J. S. Wright, L. R. Barclay and K. U. Ingold. "Naphthalene diols: a new class of antioxidants intramolecular hydrogen bonding in catechols, naphthalene diols, and their aryloxy radicals". The Journal of Organic Chemistry 2002; 67(15): 5190-5196.
- [13] W. Gregor, G. Grabner, C. Adelwöhler, T. Rosenau and L. Gille. "Antioxidant properties of natural and synthetic chromanol derivatives: study by fast kinetics and electron spin resonance spectroscopy". The Journal of Organic Chemistry 2005; 70(9): 3472-3483.
- [14] A. Bankar, B. Joshi, A. R. Kumar and S. Zinjarde. "Banana peel extract mediated novel route for the synthesis of silver nanoparticles". Colloids and Surfaces A: Physicochemical and Engineering Aspects 2010; 368: 58-63.
- [15] M. Dubey, S. Bhaduria and B. Kushwah. "Green synthesis of nanosilver particles from extract of *Eucalyptus hybrida* (safeda) leaf". Digest Journal of Nanomaterials and Biostructures 2009; 4: 537-543.
- [16] S. S. Shankar, A. Ahmad and M. Sastry. "Geranium leaf assisted biosynthesis of silver nanoparticles". Biotechnology Progress 2003; 19: 1627-1631.
- [17] N. A. Begum, S. Mondal, S. Basu, R. A. Laskar and D. Mandal. "Biogenic synthesis of Au and Ag nanoparticles using aqueous solutions of Black Tea leaf extracts". Colloids and Surfaces B: Biointerfaces 2009; 71: 113-118.
- [18] V. Kumar, S. C. Yadav and S. K. Yadav. "Syzygium cumini leaf and seed extract mediated biosynthesis of silver nanoparticles and their characterization". Journal of Chemical Technology and Biotechnology 2010; 85: 1301-1309.
- [19] E. M. Wenzig, U. Widowitz, O. Kunert, S. Chrubasik, F. Bucar, E. Knauder and R. Bauer, "Phytochemical composition and in vitro pharmacological activity of two rose hip (*Rosa canina* L.)

preparations". *Phytomedicine* 2008; 15: 826-835.

[20] S. Jafarirad, M. Mehrabi, B. Divband and M. Kosari-Nasab. "Biofabrication of zinc oxide nanoparticles using fruit extract of rosa canina and their toxic potential against bacteria: a mechanistic approach" *Materials Science and Engineering: C* 2016; 59, 296–302.

[21] S. Jafarirad and S. Poorgholi. "Application of CuO nanoparticles which

synthesized using *Fumaria officinalis* plant extract in preparing hair color to enhance health". *Nanomaterials* 2015; 7: 95-103.

۲۲- م. ابارشی؛ ا. عبدی "بررسی خاصیت ضد باکتریایی نانوذرات نقره و نانوکامپوزیت های پلی اتیلن-نقره" مجله مواد نوین، دوره ۶، شماره ۲۲، زمستان ۱۳۹۴، صفحه ۱۶۸-۱۵۹.

Archive of SID